

НОВЫЕ ФАЗЫ В ОРГАНИЧЕСКИХ СВЕРХПРОВОДНИКАХ

А.Г.Лебедь

Процессы переброса в квазиодномерных проводниках $(\text{TMTSF})_2\text{X}$ качественно изменяют их фазовую диаграмму в магнитном поле. Это приводит к сосуществованию волн спиновой плотности (ВСП), характеризующимися различными волновыми векторами.

Органические сверхпроводники $(\text{TMTSF})_2\text{X}$, $\text{X} = \text{ClO}_4, \text{PF}_6$, имеют сложную фазовую диаграмму в магнитном поле. Основной ее особенностью является каскад переходов между различными ВСП-подфазами ¹⁻³ и связанный с ними квантовый эффект Холла ^{4, 5}.

Объяснение фазового перехода металл – ВСП состоит, согласно ⁶, в "одномеризации" электронного спектра в магнитном поле и появлении неустойчивости в "пайерлсовском" канале. Возникающие при этом диэлектрические подфазы описываются параметром порядка $\Delta(r)$ в виде двух плоских волн с квантованным значением продольного волнового вектора ^{7, 8}:

$$\Delta(r) = \Delta_n \exp(ip_x x + i\pi y \cdot b + i\pi z \cdot c) + \text{к.с.} \quad (1)$$

$$p_x = 2n\omega_c/v_F + 2p_F. \quad (1')$$

Здесь ω_c – циклотронная частота движения электронов по открытым орбитам квазиодномерного электронного спектра:

$$\epsilon(\mathbf{p}) = \pm v_F(p_x \mp p_F) + 2t_b \cos(p_y b) + 2t'_b \cos(2p_y b) + 2t_c \cos(p_z c) \quad (2)$$

в поперечном магнитном поле, $\mathbf{H} \parallel \mathbf{Z}$; \mathbf{p}_F и \mathbf{v}_F – "фермиевские" импульс и скорость, t_b, t'_b, t_c – интегралы перекрытия волновых функций поперек цепочек, n – целое число.

Более детальное исследование фазовой диаграммы $(\text{TMTSF})_2\text{ClO}_4$ привело к открытию тонкой структуры ВСП-подфаз ⁹. Объяснение ее как следствия дробных значений n в (1') ¹⁰ представляется недостаточно обоснованным, так как эти состояния не отвечают минимуму энергии.

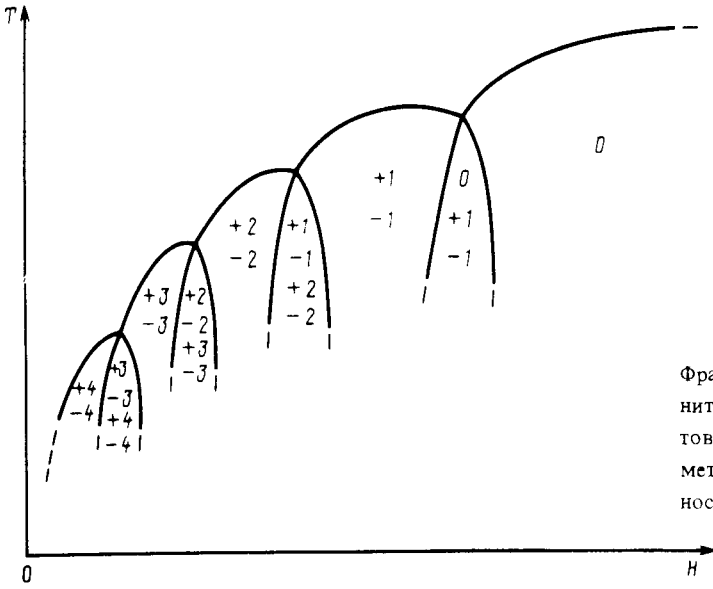
Принципиальным недостатком существующей в настоящий момент теории ВСП, индуцированной магнитным полем, является, по нашему мнению, описание каждой подфазы при помощи единственного значения n в уравнении (1').

Ниже показано, что неучитывавшиеся ранее процессы переброса приводят к одновременному существованию ВСП с различными значениями n . Подробно рассмотрена область вблизи температуры перехода, где оказалось возможным установить иерархию подфаз и выделить наиболее существенные. В результате фазовая диаграмма разбилась на отдельные участки двух типов, где одновременно существуют либо четыре плоские волны, либо восемь (рисунк).

Рассмотрим члены второго порядка в разложении свободной энергии. Наличие двукратной соизмеримости вдоль цепочек, $2p_F = \pi/a^*$, где a^* – постоянная решетки, приводит к связыванию плоских волн с $n = n_0$ и $n = -n_0$ из уравнения (1'). Температура перехода в ВСП-состояние определяется равенством нулю детерминанта в матричном уравнении на векторный параметр порядка $(\Delta_{n_0}, \Delta_{-n_0}^*)$:

$$\begin{vmatrix} 1 - g_2 \ln(\Omega/t'_b) - g_2 \ln(\omega_c/T) J_{n_0}^2(\lambda), & g_3 \ln(\Omega/t'_b) + g_3 \ln(\omega_c/T) J_{n_0}^2(\lambda) \\ g_3 \ln(\Omega/t'_b) + g_3 \ln(\omega_c/T) J_{n_0}^2(\lambda), & 1 - g'_2 \ln(\Omega/t'_b) - g'_2 \ln(\omega_c/T) J_{n_0}^2(\lambda) \end{vmatrix} \begin{vmatrix} \Delta_{n_0} \\ \Delta_{-n_0}^* \end{vmatrix} = 0, \quad (3)$$

где g_2, g'_2 и g_3 – константы электрон-электронного взаимодействия, отвечающие обычному рассеянию и рассеянию с процессом переброса, $J_{n_0}(\lambda)$ – функция Бесселя n_0 -го порядка, $\lambda = 8t'_b/\omega_c$, Ω – “энергия обрезания”.



Фрагмент фазовой диаграммы в магнитном поле. Указаны значения квантовых чисел n (см. (1')) для параметра порядка волны спиновой плотности (1)

При выводе матричных элементов в (3) были использованы результаты работы ⁶, где вычислены функции Грина в магнитном поле.

Учитывая, что $|g_2 - g'_2| < g_3$, рассмотрим члены четвертого порядка для состояний с $\Delta_{n_0} \approx \Delta_{-n_0}^*$ (для определенности ниже константа $g_3 > 0$). Легко убедиться в том, что они связывают между собой уже векторные параметры порядка для различных значений n_0 из (3). Эффективной, однако, такая связь вблизи температуры перехода оказывается лишь для состояний $(\Delta_{n_0}, \Delta_{-n_0}^*)$ и $(\Delta_{n_0+1}, \Delta_{-n_0-1}^*)$, вследствие чего на фазовой диаграмме появляются участки, отвечающие сосуществованию волн с четырьмя различными значениями n из (1') (см. рисунок).

Выпишем разложение свободной энергии для таких состояний:

$$F = \alpha(g_2 + g_3)[(T - T_{n_0})J_{n_0}^2(\lambda)|\Delta_{n_0}|^2 + (T - T_{n_0+1})J_{n_0+1}^2(\lambda)|\Delta_{n_0+1}|^2] + \beta(g_2 + g_3)^3[6J_{n_0}^4(\lambda)|\Delta_{n_0}|^4 + 6J_{n_0+1}^4(\lambda)|\Delta_{n_0+1}|^4 + 8J_{n_0}^2(\lambda)J_{n_0+1}^2(\lambda)|\Delta_{n_0}|^2|\Delta_{n_0+1}|^2], \quad (4)$$

где общие для различных подфаз размерные коэффициенты α и β на характер фазовой диаграммы влияния не оказывают; T_{n_0} – температура перехода в векторное состояние (3).

Обратим внимание на тот факт, что “угол раствора” области сосуществования плоских волн с четырьмя различными значениями n не зависит от соотношения между g_2 и g_3 . Он определяется минимизацией свободной энергии (4) и для фазы $(\Delta_{n_0}, \Delta_{-n_0}^*, \Delta_{n_0+1}, \Delta_{-n_0-1}^*)$ с $n_0 \neq 0$ равен:

$$\frac{2}{3}(T_{n_0+1} - T) < (T_{n_0} - T) < \frac{3}{2}(T_{n_0+1} - T). \quad (5)$$

Случай $n_0 = 0$ оказывается выделенным из-за эффекта соизмеримости и область существова-

ния такой фазы дается другим выражением:

$$\frac{2}{3} (T_1 - T) < (T_0 - T) < (T_1 - T) \quad (6)$$

(см. рисунок).

Остановимся кратко на соответствии полученных результатов известным экспериментальным данным. Исходя из разложения свободной энергии (4), можно показать, что скачок теплоемкости при переходе из металлической фазы в векторное состояние (3) должен быть в 1.5 раза меньше, чем в теориях типа БКШ^{7,8}. Это обстоятельство хорошо отвечает измерениям теплоемкости в слабых магнитных полях¹¹.

Полученные нами разветвления на фазовой диаграмме основных подфаз на более мелкие, содержащие вблизи температуры перехода восемь волновых векторов (с четырьмя различными n из (1)), качественно соответствуют экспериментально наблюдаемому дроблению подфаз при уменьшении температуры⁹.

Что касается величины квантового эффекта Холла в векторных состояниях (3), то она по-прежнему будет даваться выражением $\rho_{xy} = \hbar/2e^2 n_0$, где знак n_0 определяется большей по модулю компонентой в векторе $(\Delta_{n_0}, \Delta_{-n_0}^*)$.¹⁾

В заключение автор выражает благодарность Л.П.Горькову и В.М.Яковенко за обсуждение работы и сделанные ими замечания.

Литература

1. *Ribault M. et al.* J. de Phys. Lett., 1983, 44, L-953.
2. *Chaikin P.M. et al.* Phys. Rev. Lett., 1983, 51, 2333.
3. *Kwak J.F. et al.* Phys. Rev. Lett., 1986, 56, 972.
4. *Cooper J.R. et al.* Phys. Rev. Lett., 1989, 63, 1984.
5. *Hannahs S.T. et al.* Phys. Rev. Lett., 1989, 63, 1988.
6. *Cor'kov L.P., Lebed A.G.* J. de Phys. Lett., 1984, 45, L-433.
7. *Лебедь А.Г.* ЖЭТФ, 1985, 89, 1034.
8. *Maki K. et al.* Phys. Rev. B, 1986, 34, 3371.
9. *Faini G. et al.* J. de Phys. Colloc., 1988, 49, C8-807.
10. *Heritier M. et al.* Low Dimensional Conductors and Superconductors, N.Y.: NATO ASI Plenum Press, 1986, p. 243.
11. *Pesty F. et al.* J. Appl. Phys., 1988, 63, 3061.

Институт теоретической физики им. Л.Д.Ландау
Академии наук СССР

Поступила в редакцию
3 мая 1990 г.

1) Этим нетривиальным замечанием автор обязан В.М.Яковенко.